

ORIGINAL ARTICLE

Structure and similarity of dehydrin proteins using bioinformatics tools in monocotyledons and dicotyledons plants

Armin Saed-Moucheshi, Ali Shirkhani*

Crop and Horticulture Research Department, Kermanshah Agricultural and Natural Resources Research and Education Center (AREEO), Kermanshah, Iran.

Correspondence

Ali Shirkhani
Email: Ali.shirkhani@gmail.com

ABSTRACT

Dehydrin (DHN) proteins are a group of proteins that effectively respond to abiotic stresses such as cold and drought stress in plants. These proteins are a subset of protective greater group of proteins called type II Late embryogenesis abundant which are protecting other proteins from stresses shock. Due to the significant effect of dehydrin proteins in plants, specially under abiotic stresses, the aims of this study were to survey the linear structure along with phylogeny relationship of this proteins' group in different plants species. The protein linear sequences of different plant species were downloaded from NCBI site and then were aligned using MegaX software. The results of aligning showed highly conserved segments within the considered sequences such as K- and S-segments that are respectively responsible for covering other proteins and protecting them from damaging effects of stresses and transporting dehydrin proteins from cytoplasm to nucleus. Using the sequences' alignment, phylogenetic tree was extracted using Neighbor joining method. Furthermore, linear sequence order of amino acids and their ratio in the structure of these protein were evaluated. Following that, the composition of these proteins genomic sequences were considered to compare with the results of amino acids evaluation. The results indicated that dicotyledon and monocotyledon plants can be clearly separated into two distinguished classes based on the amino acid structure of DHN proteins. Similarly, The ratio and order of DHNs linear sequences were distinctly altered between mono- and di-cotyledon plants. Evaluation of genomic base pairs of these proteins showed that there are numerous unchanged motifs with either no or a little difference shared among the genomic sequences of DHN proteins.

How to cite

Saed-Moucheshi, A., & Shirkhani, A. (2024). Structure and similarity of dehydrin proteins using bioinformatics tools in monocotyledons and dicotyledons. *Crop Biotechnology*, 13(46), 59-73.

KEY WORDS

DHN genomic sequences, K-segment, S-segment, Late embryogenesis abundant proteins, Neighbor Joining.

نشریه علمی

ژیست‌فناوری گیاهان زراعی

«مقاله پژوهشی»

بررسی ساختار و قرابت پروتئین‌های دهیدرین توسط ابزارهای بیوانفورماتیک در گیاهان تک‌لپه و دولپه

آرمین ساعدموچشی، علی شیرخانی*

چکیده

پروتئین‌های گروه دهیدرین (DHN: Dehydrin)، گروهی از پروتئین‌های مهم دخیل در پاسخ به تنش‌های غیر زیستی مانند سرما و خشکی در گیاهان هستند. این پروتئین‌ها به گروهی از پروتئین‌های محافظت‌کننده از سایر پروتئین‌ها به نام type II Late embryogenesis abundant (LDE) معروف‌اند. با توجه به اهمیت پروتئین‌های گروه دهیدرین در گیاهان، در این تحقیق روابط تکاملی این گروه در گیاهان مختلف مورد بررسی قرار گرفت. بدین منظور توالی‌های پروتئین‌های دهیدرین گیاهان مختلف از سایت NCBI استخراج و هم‌ردیف گردید. نتایج وجود نواحی حفاظت‌شده از جمله موتیف K و S که به ترتیب در واکنش با دیگر پروتئین‌های تحت تنش و محافظت از آن‌ها و همچنین انتقال پروتئین‌های گروه دهیدرین از سیتوپلاسم به هسته نقش دارند را در بین ژن‌های مورد بررسی نشان داد. در خت فیلوجنی بر پایه نواحی حفاظت‌شده و با روش Neighbor Joining (NJ) رسم گردید و توالی خطی و درصد اسید‌آمینه‌های موجود در ساختار این پروتئین‌ها به همراه توالی مکمل ژنومی آن‌ها نیز مورد بررسی قرار گرفت. نتایج نشان داد که پروتئین‌های گروه دهیدرین دولپه‌ای و تک‌لپه‌ای‌ها به دو گروه مجزا تقسیم شده و در هر گروه نیز بر اساس نزدیکی و دوری جنس‌های مختلف گیاهی در کلاسترها مجزا قرار گرفتند. همچنین گیاهان تک و دولپه از لحاظ توالی خطی اسید‌آمینه و درصد آن‌ها هم اختلاف بالایی را نشان دادند. از طرفی، بررسی توالی ژنومی این گیاهان نشان‌دهنده وجود ساختارهای حفاظت‌شده و مشابه بود.

واژه‌های کلیدی

تشنج غیرزیستی، موتیف‌های S و K، پروتئین‌های LDE، نزدیکی، دوری، جنس‌های مختلف گیاهی، کلاسترها، مجزا، قرار گرفتن، همچنین گیاهان تک و دولپه

نویسنده مسئول:
علی شیرخانی

رایانامه: Ali.shirkhani@gmail.com

استناد به این مقاله:

ساعدموچشی، آرمین و شیرخانی، علی (۱۴۰۳). بررسی ساختار و قرابت پروتئین‌های دهیدرین توسط ابزارهای بیوانفورماتیک در گیاهان تک‌لپه و دولپه. *فصلنامه علمی ژیست‌فناوری گیاهان زراعی*, ۱۳(۴۶)، ۵۹-۷۳.

معمول را بازیابی کنند درحالی که گیاهان جهش داده شده تنها تا ۳۴ درصد وزن تر معمول خود را بازیابی کردند (Saavedra *et al.*, 2006). همچنین در یک آزمایش دیگر مشاهده گردید که میزان بیان پروتئین‌های دهیدرین در گیاهان مختلف مقاوم به خشکی در مقایسه با گیاهان غیر مقاوم به طور معنی‌داری بیشتر بود (Velasco-Conde *et al.*, 2012). مکانیسم عمل این گروه از پروتئین‌ها هنوز به طور کامل شناسایی نشده است ولی چنین به نظر می‌رسد که یک رابطه مستقیم بین هورمون آبسیزیک اسید به عنوان یک سیگنال در پاسخ به تنش‌های محیطی و تولید دهیدرین در گیاهان وجود دارد به طوری که این هورمون باعث افزایش تولید این گروه از پروتئین‌ها می‌گردد که شاهدی جهت تایید کارکرد دهیدرین‌ها در شرایط تنش است (Borovskii *et al.*, 2002).

سان و همکاران اعلام نمودند که در پاسخ به تنش‌های غیر زیستی (مانند خشکسالی، تنش اسمزی، شوری و دما)، بسیاری از ژن‌های DHN در تمام بافت‌های رویشی تنظیم می‌شوند. Smith and Graether (۲۰۲۲) نیز معتقدند که بیان افزایشی یک پروتئین LEA عموماً در پاسخ به حداقل یکی از سه تنش غیر زیستی، خشکی، سرما و استرس اسمزی رخ می‌دهد که همگی منجر به تخلیه آب درون‌سلولی می‌شوند و LEA حتی در بافت رویشی خشک شده نیز بیان می‌شود. این امر در مورد همه موجودات موجود در قلمرو گیاهی، از جمله گیاهان غیر آوندی نیز صادق است. با این حال، جلبک‌های سبز پروتئین‌های LEA کمتری در ژنوم خود دارند، افزون بر این، اسید آبسیزیک (ABA)، هورمونی که در بلوغ جنین‌ها نقش دارد، در تنظیم مثبت برخی از پروتئین‌های LEA نقش دارد (Smith & Graether, 2022). ژنوم‌های گیاهی اغلب چندین خانواده پروتئین LEA را رمزگذاری می‌کنند که لزوماً در پاسخ به تنش‌های یکسان تنظیم نمی‌شوند و می‌توانند برای مراحل خاصی از رشد منحصر به فرد باشند (Lan *et al.*, 2013) رابطه تکاملی بین ساختارهای مختلف گروه پروتئین‌های دهیدرین تا به امروز به طور کامل مشخص نشده است. انجام این کار به دلیل تعداد متغیر موتیف‌های حفاظت شده دشوار است، بنابراین دستیابی به همترازی‌های دقیق توالی چندگانه لازم برای مطالعات فیلوژنتیک را بسیار چالش برانگیز می‌کند. با این حال، چندین مطالعه در حال حاضر موجود است که ژنوم گیاهان مختلف (برنج، گندم، کیوی، لوکو، سیب زمینی) را با هدف شناسایی دهیدرین‌ها و ترسیم شجره

مقدمه

فیلوژنی یا تبار شناختی به بررسی و تعیین روابط خویشاوندی تاکson‌ها، خطوط اجدادی و منشأ پیدایش گیاهان می‌پردازد. در فیلوژنی علاوه بر صفات ریخت شناختی از داده‌های مولکولی مثل توالی DNA موجود در هسته، کلروپلاست و یا میتوکندری استفاده می‌شود. امروزه سعی می‌شود جهت بررسی روابط تکاملی و فیلوژنی به جای اطلاعات ریخت‌شناسی، از اطلاعات حاصل از توالی DNA و پروتئین‌ها استفاده شود. هر نوکلئوتید یا اسیدآمینه می‌تواند به عنوان یک ویژگی جهت بررسی روابط فیلوژنی در نظر گرفته شود. در مقایسه با اطلاعات ریخت‌شناسی، امتیاز دادن به این نوع اطلاعات ژنتیکی هم ساده‌تر است و هم اطلاعات بیش تری در اختیار قرار می‌دهند (Sheikh Asadi *et al.*, 2019).

تنوع در جایابی پروتئین‌های درون سلولی می‌تواند منجر به ایجاد یک عملکرد جدید و یا تفکیک عملکرد گردد و نقش مهمی در تکامل ژنوم‌های یوکاریوتی داشته باشد. تشخیص جایابی یک پروتئین در اجزای درون‌سلولی عملکرد بیولوژیکی آن آنزیم را تا حدود زیادی مشخص می‌کند و بینش مناسبی از مسیر تکاملی خانواده ژنی گیاهان را فراهم می‌کند (Farah Yachash *et al.*, 2019).

پروتئین‌های گروه دهیدرین (Dehydrin: DHN)، گروهی از پروتئین‌های مهم هستند که در پاسخ به تنش غیر زیستی مانند تنش سرمایی و تنش خشکی در گیاهان تولید می‌گردند. این پروتئین‌ها جزء گروهی از پروتئین‌های محافظت‌کننده از سایر Late embryogenesis typeII (Lea) abundant (Yang *et al.*, 2012). دهیدرین پروتئین‌های آبدوست بوده و در برابر حرارت مقاوماند. این پروتئین‌ها دارای گلایسین و سایر آمینواسیدهای قطبی بوده و معمولاً یک کپی از توالی توافقی ۱۵ آمینواسیدی را دارند که غنی از آمینواسید لایزین بوده (EKKGIMDKIKEKPLG) و تا حدود زیادی در گونه‌های گیاهی حفاظت شده است (Chang-Cai, 2012). از سال ۱۹۸۹ که برای اولین بار این پروتئین‌ها در جو و ذرت مشاهده گردید، به عنوان پایه ژنتیکی مقاومت به خشکی شناخته می‌شود (Close *et al.*, 1989).

برای شناسایی قطعی نحوه عمل این پروتئین‌ها، آزمایشی با روش خاموش‌سازی ژنی که ارتباط مستقیم با عملکرد پروتئین‌های دهیدرین داشت انجام گرفت و مشخص گردید که گیاهان شاهد می‌توانند بعد از تنش شوری (که باعث ایجاد تنش اسموتیک می‌شود) و پس از آن بازیابی از تنش تا ۹۴ درصد وزن تر

(Conde *et al.*, 2012). در حالت عادی، دهیدرین درون اندامک سیتوپلاسم و کلروپلاست فعالیتی ندارد، اما افزایش بیان آن تحت شرایط خاص درون اندامک سیتوپلاسم و کلروپلاست رخ می‌دهد. در برخی منابع مکانیسم مقاومت به خشکی پروتئین‌های Lea بدین شکل تشریح شده‌است که در شرایط دهیدراتاسیون به صورت سازه‌های پروتئینی متشکل از مارپیچ آلفا شروع به نفوذ در ساختمان غشاء سلولی می‌نمایند. پس از ورود این پروتئین‌ها در ساختمان غشاء وضعیت ترمودینامیکی غشاء در اثر کنار هم قرار گرفتن ساختارهای آب‌گریز غشاء که ناشی از برهمنکش‌های گروههای آبدوست و آب‌گریز غشاء است، تغییر می‌نماید. این بدان معنی است که ساختار مارپیچ آلفای پروتئین دهیدرین در تعامل با لایه‌های فسفولیپیدی قرار می‌گیرد و ضخامت غشاء سلولی را افزایش می‌دهد و باعث مقاومت سلول به تنفس خشکی و پدیده دهیدراتاسیون می‌شود (Yousef Zaei *et al.*, 2019).

از آنجاکه مطالعات بسیار محدودی در رابطه با ساختار و روابط این گروه از پروتئین‌ها در گیاهان صورت گرفته‌شده و از طرفی این پروتئین‌ها دارای اهمیت بالایی در گیاهان هستند، مطالعه حاضر سعی در بررسی ساختار و روابط تکاملی و همچنین ارزیابی قرابت پروتئین‌های گروه دهیدرین در گیاهان تک‌لپه و دو‌لپه را دارد.

مواد و روش‌ها

توالی مربوط به نوکلئوتیدی و پروتئین‌های خانواده دهیدرین (DHN1) در آرابیدوپسیس (*Arabidopsis thaliana*) (Dahlbeck *et al.*, 2011) و پس از آن توالی‌های گروه دهیدرین بر اساس شباهت با ژن دهیدرین آرابیدوپسیس (Danyluk, Houde, Rassart, & NCBI, 1994) و با استفاده از بلاست پروتئیناز سایت Sarhan (1994) استخراج گردید. همه توالی‌های دارای شباهت با توالی‌های دهیدرین آرابیدوپسیس، تک‌تک در سایت NCBI چک شد و در صورتی که هرکدام از توالی‌های مربوط به گروه دیگر یا دارای عملکردی غیر مرتبط با این گروه بودند حذف گردید. همچنین، مرحله آخر جهت انتخاب توالی‌های اندازه‌گیری میزان شباهت آن‌ها با توالی دهیدرین آرابیدوپسیس بود که بر این اساس توالی‌ها مجدد در سایت NCBI بلاست گردید و توالی‌های دارای شباهت بیشتر از ۴۰ درصد انتخاب شدند. برای بررسی روابط تکاملی و فیلوژنی توالی‌های منتخب الینمنت آن‌ها با استفاده از روش ClustalW و با الگوریتم ماتریس وزنی BLUSOM و نیز روش

فیلوژنتیک بهمنظور درک بهتر تکامل آن‌ها در آن گیاه مورد تجزیه و تحلیل قرار داده‌اند. اغلب این مطالعات نشان دهنده اثر مهم جهش مضاعف و داخل شدن قطعه یا تکه‌های تکراری ژنومی مشابه به دورن ژن‌های دهیدرین به عنوان عامل اصلی در تنوع بخشیدن به پروتئین‌های این خانواده هستند. همچنین یک Pinaceae مطالعه دیگر که روی تک گونه گیاهی از خانواده Pinaceae تمرکز داشته است موفق به شناسایی قطعه ای ژنومی به نام N1 Liu (2012; Verma *et al.*, 2017; Zan, Li, Li, Zhang, & Li, 2020; Zhang *et al.*, 2021) شد که در درحال حاضر نام آن به قطعه F تغییر یافته است (Pinaceae). در یکی از جامع‌ترین مطالعات خانواده محور در گیاهان که روی خانواده Pinaceae متتمرکز بود، نویسنده‌گان بخشی از ژنوم در آن زمان به نام N1 گذاری شد را شناسایی کردند که اکنون این بخش به عنوان بخش F شناخته می‌شود. نتایج تجزیه و تحلیل فیلوژنتیک در این پژوهش نشان داد که دهیدرین‌های Pinaceae به دو گروه تقسیم می‌شوند، در گروه دوم، دهیدرین‌های FKn و Kn هرکدام به دو کلاد تقسیم می‌شوند که نشان دهنده از دست دادن موازی متوفیهای توالی است (Stival Sena *et al.*, 2018).

دهیدرین‌ها در بافت‌های مختلف گیاهان در پاسخ به تنفس های محیطی گوناگون از جمله خشکی، یخ‌زدگی، شوری و حتی فلزات سنگین همراه با افزایش سنتز آبسزیک‌اسید سنتز می‌شوند (Hanin *et al.*, 2011). برخی از انواع پروتئین‌های دهیدرین نقش حفاظتی مهمی در پاسخ گیاهان به تنفس خشکی دارند (Tripepi *et al.*, 2011). گیاهان می‌توانند از طریق ژن‌هایی مانند دهیدرین در برابر خشکی مقاومت نشان دهند. این ژن در برابر تنفس‌های خشکی، شوری و سرما و اکنش نشان می‌دهد (Battaglia *et al.*, 2008). این پروتئین‌ها ضمن محافظت سلول در برابر تنفس خشکی، مانع واسرشته شدن ماکرو مولکول‌ها شده و سبب حفظ ساختار غشای سلولی می‌شوند (Sun *et al.*, 2009). سنتز و انباست دهیدرین‌ها نه تنفس در پاسخ به تنفس، بلکه به عنوان بخشی از واقعی از پیش برنامه‌ریزی شده در طی مراحل نهایی تکوینی دانه در گیاهان روی می‌دهد (Jiménez-Bremont *et al.*, 2013). آن‌ها ظرفیت هیدراتاسیون بالایی از خود نشان می‌دهند و همچنین می‌توانند مقداری زیادی کاتیون را متصل کنند، آب را در سلول‌های خشک‌کننده نگه‌دارند و از عدم تعادل یونی و دناتوره شدن پروتئین جلوگیری کنند (Decena *et al.*, 2021). بیشترین محل حضور ژن دهیدرین درون‌هسته، سیتوپلاسم و Velasco- اندامک‌هایی مثل کلروپلاست و میتوکندری است (Velasco-).

ها در برمی‌گیرد تا از تحریب به‌وسیله تنش محافظت شوند (Hanin *et al.*, 2011). یکی دیگر از موتیف‌های مهم و کارکردی در دهیدرین‌ها موتیف S است که می‌تواند به‌وسیله کاسین کائینز ۲ (casein kinase II; CK2) دچار تغییرات پس از ترجمه‌های مانند فسفوپیلاسیون شود که این تغییرات در انتقال آن‌ها از سیتوپلاسم به هسته سلول نقش ایفا می‌کند. با این حال وجود پروتئین‌های دهیدرینی که فاقد موتیف S هستند نیز در داخل هسته سلول گزارش گردیده است (Hanin *et al.*, 2011). چنین به نظر می‌رسد که این نواحی حفاظت‌شده وظیفه اصلی و کارکردی این پروتئین‌ها در واکنش به تنش را بر عهده دارند به‌طوری که در طی تکامل به‌طور حفاظت‌شده باقیمانده‌اند. در شکل ۲ می‌توان نزدیکی فاصله خطی دو ناحیه K و S در ترکیبات اسیدآمینه گیاهان مختلف و همچنین تفاوت ساختاری آن‌ها را مشاهده نمود.

روابط فیلوژنی و رسم درخت تکاملی مرتبط با پروتئین‌های دهیدرین در شکل ۳ نشان داده شده است. نتایج نشان می‌دهد که گیاهان دولپه و تکلپه قادرند بر اساس فاصله ژنتیکی محاسبه شده از ماتریکس‌های ژنتیکی به خوبی از هم جدا گردند. جهت نمایش ساختاری فاصله ژنتیکی بین گیاهان دولپه و تکلپه شکل ۴ با تقسیم‌بندی این دو گروه بر اساس توالی اسیدآمینه مربوط به پروتئین‌های خانواده دهیدرین به نمایش درآمده است. فیلوژنی و گروه‌بندی ساختاری گیاهان بر اساس این گروه از پروتئین‌ها نشان‌دهنده شباهت بیشتر نواحی پروتئینی توالی گیاهان موجود در یک جنس نسبت به سایر جنس‌ها را به وضوح نشان می‌دهد (شکل ۳ و شکل ۴).

بیشترین شباهت در تکلپه‌ای‌ها مربوط به گندم نان و گندم دوروم است که می‌توان آن را در بررسی طول خطاهای نشان دهنده فاصله ژنتیکی در درخت فیلوژنی مورد بررسی در شکل ۳ مشاهده نمود؛ بنابراین چنین به نظر می‌رسد که توالی پروتئین‌های دهیدرین در گندم نان و دوروم تا مدت زمانی طولانی تحت فشار تکاملی یکسانی قرار داشته‌اند. آژیلوپس نیز که از اجداد گندم است به همراه آگرولپارون با فاصله کمی در گروه مشابه گندم نان و دوروم قرار گرفته و بعد از آن جو با فاصله بیشتری نسبت به این گروه قرار گرفته است. شباهت سورگوم و ذرت نیز بالا بوده و در کنار هم در یک گروه قرار گرفته‌اند. گونه‌های مختلف برنج و برکیبودیوم نیز با فاصله از آن‌ها در یک زیرگروه دیگر قرار گرفتند و درنهایت زیرگروه‌های تکلپه‌ای با هم پیوند خورده و به صورت واضحی از دولپه‌ای‌ها متمایز گردیدند.

MEGA11 با الگوریتم MUSCLE در نرم‌افزار UPGMA انجام شد. چون تعداد توالی‌های مشابه با روش MUSCLE بیشتر بود و توانایی بیشتری برای تشخیص شباهت توالی را نشان داد، درنهایت از روش MUSCLE و الگوریتم UPGMA جهت بررسی فیلوژنی این توالی‌ها استفاده گردید. در زمان این‌メント کردن توالی‌ها، توالی‌هایی که دارای طول‌های کوتاه بودند و یا همولوژی پایینی را از لحاظ موتیفی با سایر پروتئین‌ها دارا بودند حذف شده و مجددًا این‌منت برای توالی‌های باقی‌مانده برای تعیین روابط فیلوژنتیکی انجام گرفت. رسم نهایی درخت فیلوژنی با استفاده از توالی پروتئین‌های انتخابی با روش Neighbor Joining و با Bootstrap هزار در نرم‌افزار MEGA11 (جهت نصب این نرم‌افزار می‌توان به سایت <https://www.megasoftware.net> مراجعه نموده و بر اساس نوع سیستم‌عامل فایل نصب نرم‌افزار را دانلود کرد) انجام گردید. توالی‌های آمینواسیدی و درصد ترکیبات آن‌ها در پروتئین‌های گروه دهیدرین برای هر گونه گیاهی با استفاده از نرم‌افزار مگا انجام شد و درنهایت از این نسبت‌های آمینواسیدی جهت گروه بندی روابط تکاملی گونه‌های مورد بررسی استفاده گردید. از نرم افزار R جهت استخراج همبستگی و پلات همبستگی بین گونه‌ها و آمینواسیدها استفاده گردید. همچنین کلاسترینگ و تجزیه به مؤلفه‌های اصلی از نیز با استفاده از پکیج‌های مربوط به نرم‌افزار R استفاده شد.

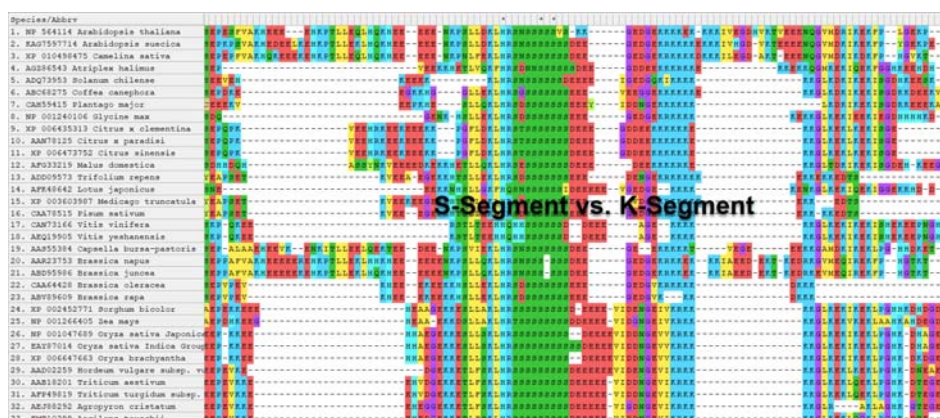
نتایج و بحث

جهت بررسی ساختار و کارکرد پروتئین‌های دهیدرین در گیاهان مختلف در این مطالعه از تعداد ۱۰۰ توالی پروتئینی مربوط به پروتئین‌های گروه دهیدرین یافت شده در NCBI^۱، توالی مربوط به تعداد ۳۳ گونه گیاهی که دارای بالاترین شباهت به ژن دهیدرین گندم بودند انتخاب و برای تعیین روابط فیلوژنی مورد استفاده قرار گرفتند. نتایج وجود چندین نواحی حفاظت‌شده بین توالی‌های انتخابی را نشان داد (شکل ۱) که این نواحی برای عملکرد ژن در گیاهان حائز اهمیت می‌باشد. یکی از این نواحی حفاظت‌شده مربوط به قطعه K است که دارای ۱۵ اسیدآمینه غنی از لاژین می‌باشد. هنگامی که تنفس پسیو (Dehydration) اتفاق می‌افتد، این موتیف باعث ایجاد یک آلفا-هیلیکس در پروتئین می‌شود که شباهت بسیاری به آلفا-هیلیکس موجود در قسمت A2 آپولیو پروتئین دارد و نقش آن واکنش با پروتئین‌هایی است که تحت تنفس پسیو قرار گرفته‌اند و این پروتئین



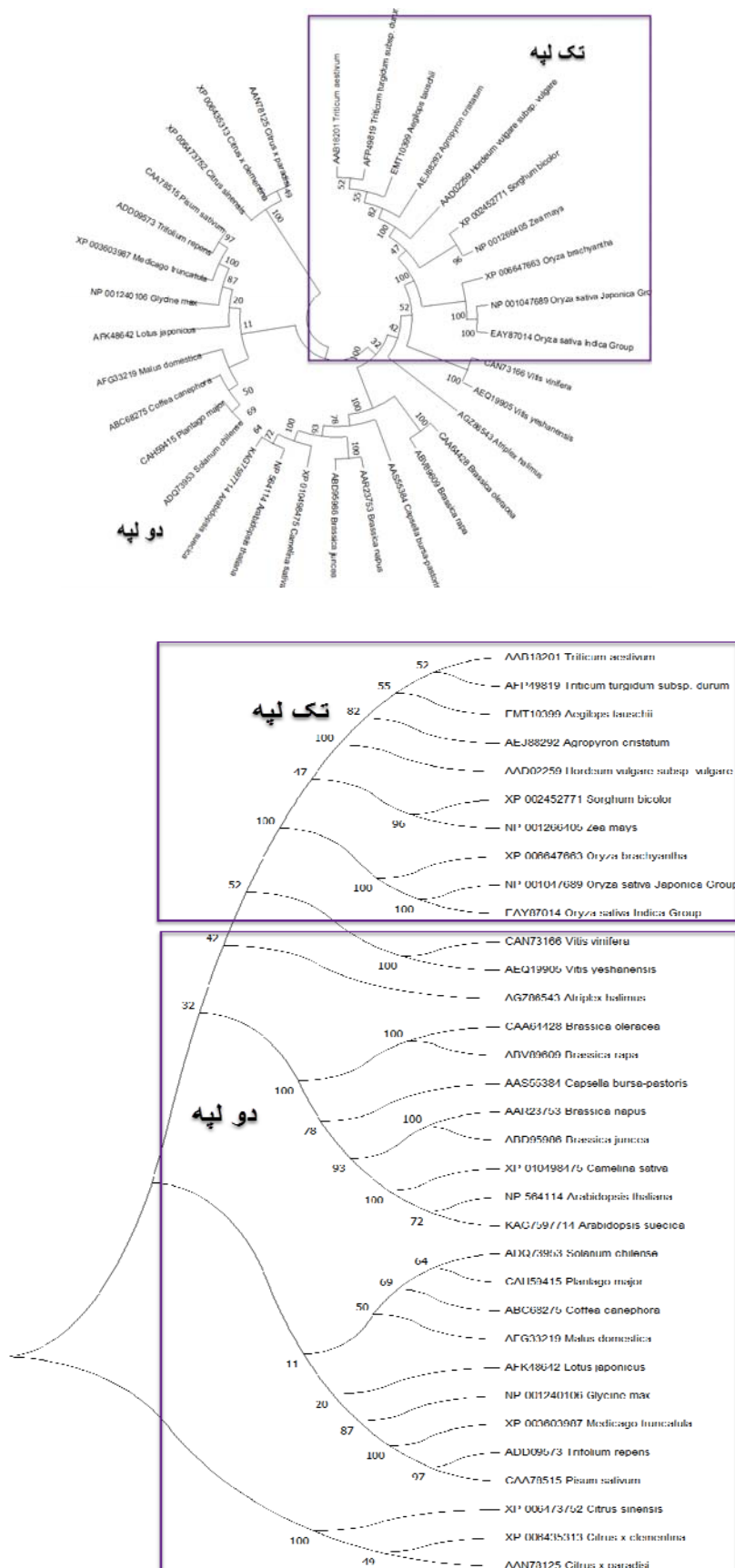
شکل ۱. قسمت‌های حفاظت‌شده در توالی‌های دهیدرین گیاهان مورد بررسی

Figure 1. Preserved segments of dehydrin protein sequences in evaluated plant species



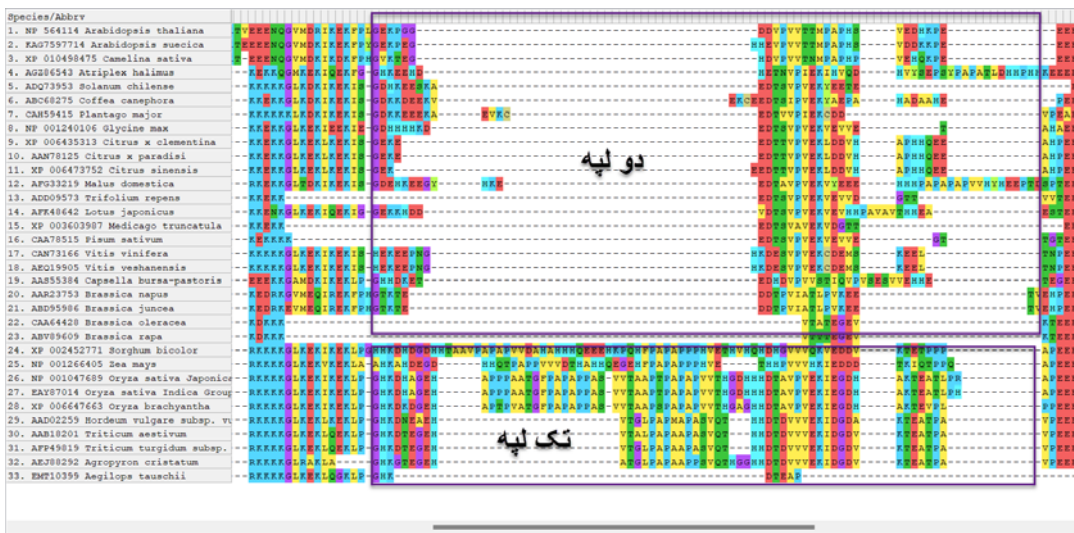
شکل ۲. قسمت‌های محافظت‌شده K و S جهت مقایسه آنها

Figure 2. Preserved K and S segments of dehydrin protein sequences



شکل ۳. درخت فیلوجنی مربوط به توالی پروتئین‌های گروه دهیدرین بر پایه روش Neighbor Joining در نرم‌افزار MEGA11

Figure 3. Phylogenetic tree of dehydrin proteins based on Neighbor Joining method using Mega 11 software



شکل ۴. بخش‌های متفاوت در توالی مربوط به گروه پروتئین خانواده دهیدرین بین گیاهان تک‌لپه و دو‌لپه

Figure 4. Unpreserved segments of dehydrin protein family regarding monocotyledon and dicotyledon plants

تبديل به يك گراف با ساختار ساده گردید (شکل ۵). در اين شكل مشاهده مي‌گردد که به صورت کلى گیاهان مورديبررسی داراي شباهت‌های ساختاري قابل مشاهده هستند، باين حال در اين شكل مجزا بودن دو گروه دولپه و تک‌لپه بر اساس پلات همبستگي رسم شده بر پايه توالی اسييدامينه‌های پروتئين دهیدرین در گیاهان مختلف محرز و قابل‌شناسايی است. علاوه بر آن، شكل ۶ که نشان‌دهنده کلاستر بندی گونه‌های گیاهی مورديبررسی در اين مطالعه است به صورت کاملاً واضح قادر به تفكيك دو گروه گیاهان تک‌لپه و دولپه بود. همچنين فاصله ژنتيکي بين گونه‌های مختلف داخل هر گروه گیاهی و تک‌لپه و دولپه و شباهت ساختاري پروتئين‌های آن‌ها در شکل ۶ قابل‌تشخيص است.

به صورت کلى ۱۹ نوع اسييدامينه در ساختار پروتئين‌های گیاهی در اين مطالعه مشاهده گردید. اسييدامينه تريپتوفان در هيج کدام از پروتئين دهیدرین مربوط به گونه‌های گیاهی مورديبررسی مشاهده نگردد. همچنين، اسييدامينه سيسين تنها در چهار گونه *Plantago major*, *Coffea canephora* (درصد ۱/۸)، *Vitis vinifera* (درصد ۳/۱)، *Vitis vinifera* (درصد ۱/۲)، *yeshanensis* (درصد ۱/۲) مشاهده گردید (جدول ۱). از بين اين چهار گونه گیاهی دو گونه *Coffea canephora* و *Plantago major* با شباهت بالا در داخل يك کلاستر و دو گونه دیگر شامل *Vitis vinifera* و *Plantago major* نيز در يك کلاستر قرار گرفتند (شکل ۶) که نشان‌دهنده شباهت ساختاري اين گونه‌های مورديبحث از لحاظ ساختار خطى اسييدامينه، درصد تشكيل اين اسييدامينه‌ها و همچنان عملکرد آن‌ها است.

در گروه دولپه‌ای‌ها نيز مانند تک‌لپه‌ای‌ها، زيرگروه‌های از جنس‌های مختلف rosaceae, fabaceae, brassicaceae, plantaginaceae و solanaceae به وضوح متمایز گردیدند. در اين ميان يك پروتئين از گونه گیاه سويا از جنس فاباشه تا حدودي دورافتاده و داراي شباهت بيشرتري با جنس پلتازناسه و سولاناشه بود که نشان‌دهنده شباهت عملکردی اين پروتئين در اين گیاه با اين دو جنس است. جهت مشاهده تفاوت، شباهت و همچنان درصد و نوع اسييدامينه‌های تشکيل‌دهنده پروتئين‌های دهیدرین در گیاهان مورديبررسی و تشخيص کيفي فاصله ژنتيکي گیاهان مختلف در ارتباط با ساختار اسييدامينه‌های ساختاري اين پروتئين‌ها، جدول ۱ که نشان‌دهنده نوع اسييدامينه‌های موجود در ساختار پروتئين‌های دهیدرین در گیاهان مورديبررسی و همچنان درصد تشکيل‌دهنده هر کدام از اين اسييدامينه در توالی و ساختار پروتئينی آورده شده است. به دليل اينکه اين نسبت‌ها قابل درک گردد و معياری برای مقايسه مناسبتر ساختار پروتئين‌های دهیدرین در گیاهان مورديبررسی، نتایج و داده‌های موجود در جدول ۱ که شامل نوع و درصد اسييدامينه‌های ساختاري در اين پروتئين‌ها است به ماتریس ناهمسانی ژنتيکي (Genetics) یا به اصطلاح فاصله ژنتيکي (Genetic Dissimilarity) یا به اصطلاح فاصله ژنتيکي (Dissimilarity) بین گونه‌ها تبدل گردید که در جدول ۲ آورده شده است. در اين جدول نتایج مقايسه دوبه‌دو و جفتی همه گونه‌های گیاهی بر پايه اسييدامينه‌ها نشان داده شده و می‌توان ميزان شباهت یا تفاوت بين همه جفت گونه‌ها را به آسانی با هم مقايسه نمود. نتایج جدول ۲ نيز با استفاده از روش جديد پلات همبستگي

جدول ۱. درصد آمینواسیدهای تشکیل دهنده توالی های مربوط به زن های دهیدرین در گیاهان مختلف

Table 1. Ration (Percent) of each amino acid in the linear structure of dehydrin protein of different plant species

| گونه گیاهی | Ala | Cys | Asp | Glu | Phe | Gly | His | Ile | Lys | Leu | Met | Asn | Pro | Gln | Arg | Ser | Thr | Val | Trp | Tyr | تعداد جهت باز |
|--------------------------------|-------|------|------|-------|------|-------|------|------|-------|------|------|------|-------|------|------|------|-------|------|------|-------|---------------|
| <i>Arabidopsis thaliana</i> | 3.47 | 0 | 5.02 | 18.92 | 2.7 | 5.02 | 4.25 | 3.09 | 16.99 | 4.63 | 2.32 | 1.93 | 7.34 | 2.7 | 1.16 | 6.56 | 6.56 | 6.56 | 0 | 0.77 | 259 |
| <i>Arabidopsis suecica</i> | 3.11 | 0 | 4.67 | 19.84 | 2.33 | 4.67 | 5.06 | 2.33 | 17.9 | 5.06 | 2.33 | 2.33 | 7.39 | 1.95 | 1.17 | 7.39 | 5.84 | 5.45 | 0 | 0.17 | 257 |
| <i>Camassia sativa</i> | 3.92 | 0 | 3.92 | 20 | 2.75 | 4.31 | 5.1 | 2.75 | 17.25 | 4.71 | 2.35 | 3.53 | 7.45 | 3.14 | 1.18 | 5.49 | 6.67 | 4.71 | 0 | 0.78 | 255 |
| <i>Atriplex halimus</i> | 4.72 | 0 | 9.44 | 15.45 | 2.58 | 6.01 | 7.73 | 3 | 17.6 | 2.58 | 2.15 | 2.58 | 5.15 | 1.72 | 1.72 | 6.44 | 3 | 6.01 | 0 | 0.215 | 233 |
| <i>Solanum chilense</i> | 5.53 | 0 | 5.03 | 21.11 | 2.01 | 7.04 | 4.02 | 4.02 | 18.59 | 4.02 | 0.5 | 1.51 | 5.53 | 1.51 | 1.01 | 9.05 | 3.02 | 5.03 | 0 | 0.151 | 199 |
| <i>Coffea canephora</i> | 7.93 | 1.76 | 5.73 | 19.82 | 1.76 | 8.81 | 2.64 | 3.08 | 20.26 | 4.41 | 0.44 | 0.88 | 5.29 | 1.76 | 1.32 | 6.17 | 2.64 | 3.96 | 0 | 0.132 | 227 |
| <i>Plantago major</i> | 5.68 | 3.06 | 5.68 | 21.4 | 2.18 | 4.8 | 1.75 | 3.49 | 18.78 | 4.37 | 0.44 | 0.87 | 7.42 | 1.75 | 0.87 | 4.8 | 5.24 | 5.68 | 0 | 0.175 | 229 |
| <i>Glycine max</i> | 4.67 | 0 | 5.61 | 20.09 | 1.87 | 7.01 | 6.54 | 2.8 | 17.76 | 4.67 | 0.47 | 0.93 | 5.14 | 2.34 | 1.4 | 7.48 | 4.67 | 5.61 | 0 | 0.93 | 214 |
| <i>Citrus x clementina</i> | 5.56 | 0 | 5.98 | 20.09 | 1.71 | 5.56 | 5.98 | 2.14 | 19.23 | 5.13 | 0.85 | 0.43 | 6.84 | 3.85 | 1.28 | 6.41 | 3.42 | 4.7 | 0 | 0.85 | 234 |
| <i>Citrus x paradisi</i> | 5.13 | 0 | 5.98 | 20.09 | 1.71 | 5.56 | 5.98 | 2.14 | 19.23 | 5.13 | 0.85 | 0.43 | 7.26 | 3.85 | 1.28 | 6.41 | 3.42 | 4.7 | 0 | 0.85 | 234 |
| <i>Citrus sinensis</i> | 5.13 | 0 | 5.98 | 20.51 | 1.71 | 5.13 | 5.98 | 2.14 | 19.23 | 5.13 | 0.85 | 0.43 | 7.26 | 3.85 | 1.28 | 6.41 | 3.42 | 4.7 | 0 | 0.85 | 234 |
| <i>Malus domestica</i> | 5.42 | 0 | 7.22 | 20.22 | 1.44 | 5.78 | 6.86 | 2.53 | 16.61 | 3.61 | 0.36 | 1.08 | 6.14 | 2.17 | 1.44 | 7.22 | 3.61 | 4.33 | 0 | 0.397 | 277 |
| <i>Trifolium repens</i> | 2.76 | 0 | 7.37 | 16.59 | 1.84 | 5.07 | 5.07 | 3.23 | 17.05 | 3.69 | 0.46 | 1.84 | 5.07 | 1.38 | 1.38 | 7.83 | 11.52 | 6.45 | 0 | 0.138 | 217 |
| <i>Lotus japonicus</i> | 3.86 | 0 | 6.87 | 17.6 | 2.15 | 7.73 | 5.15 | 3.43 | 16.31 | 4.72 | 0.43 | 3.86 | 3.86 | 0.43 | 6.87 | 6.01 | 6.44 | 0 | 0.43 | 233 | |
| <i>Medicago truncatula</i> | 4.78 | 0 | 8.61 | 15.31 | 1.91 | 5.26 | 5.74 | 2.87 | 16.75 | 3.83 | 0.48 | (2) | 4.78 | 1.91 | 1.44 | 6.7 | 11 | 5.26 | 0 | 0.144 | 209 |
| <i>Pisum sativum</i> | 5.09 | 0 | 5.56 | 18.52 | 1.85 | 7.41 | 5.56 | 2.78 | 16.2 | 4.17 | 0.46 | 1.39 | 4.17 | 0.93 | 1.39 | 6.48 | 11.11 | 5.56 | 0 | 0.139 | 216 |
| <i>Vitis vinifera</i> | 3.61 | 1.2 | 6.63 | 19.28 | 0.6 | 5.42 | 6.63 | 2.41 | 20.48 | 4.82 | 1.81 | 1.81 | 6.63 | 3.01 | 0.6 | 7.83 | 3.61 | 3.61 | 0 | 0 | 166 |
| <i>Vitis yeshanensis</i> | 3.61 | 1.2 | 6.63 | 19.28 | 0.6 | 5.42 | 6.63 | 2.41 | 21.08 | 4.82 | 1.81 | 1.81 | 6.63 | 3.01 | 0 | 7.83 | 3.61 | 3.61 | 0 | 0 | 166 |
| <i>Capsella bursa-pastoris</i> | 3.83 | 0 | 4.6 | 21.07 | 1.15 | 4.21 | 4.6 | 3.45 | 14.56 | 4.21 | 1.53 | 2.68 | 6.51 | 1.92 | 1.15 | 7.66 | 9.2 | 7.28 | 0 | 0.38 | 261 |
| <i>Brassica napus</i> | 5.17 | 0 | 4.43 | 22.88 | 2.21 | 4.43 | 4.8 | 1.85 | 15.87 | 5.54 | 1.48 | 1.48 | 6.27 | 1.85 | 2.58 | 6.27 | 7.01 | 5.17 | 0 | 0.74 | 271 |
| <i>Brassica juncea</i> | 4.12 | 0 | 4.94 | 23.05 | 2.06 | 4.12 | 4.53 | 2.06 | 18.11 | 5.76 | 1.65 | 0.82 | 5.35 | 2.47 | 2.06 | 6.17 | 7.41 | 4.94 | 0 | 0.41 | 243 |
| <i>Brassica oleracea</i> | 5.03 | 0 | 6.03 | 20.6 | 2.01 | 5.53 | 5.03 | 2.01 | 19.1 | 4.52 | 1.01 | 0.5 | 6.53 | 0.5 | 1.51 | 7.54 | 5.53 | 6.53 | 0 | 0.199 | 199 |
| <i>Brassica rapa</i> | 3.65 | 0 | 5.73 | 20.83 | 2.08 | 5.73 | 5.21 | 2.08 | 18.23 | 4.69 | 1.04 | 0.52 | 6.77 | 0.52 | 1.04 | 7.29 | 6.77 | 7.29 | 0 | 0.52 | 192 |
| <i>Sorghum bicolor</i> | 9.89 | 0 | 7.07 | 14.84 | 0.35 | 7.07 | 9.19 | 2.12 | 13.78 | 5.3 | 1.06 | 0.71 | 8.13 | 3.53 | 1.77 | 5.65 | 2.83 | 6.36 | 0 | 0.35 | 283 |
| <i>Zea mays</i> | 9.96 | 0 | 8.54 | 12.81 | 0.36 | 7.12 | 7.83 | 2.49 | 12.46 | 5.34 | 1.07 | 1.78 | 8.19 | 4.63 | 2.14 | 5.69 | 3.56 | 5.69 | 0 | 0.36 | 281 |
| <i>Oryza sativa Japonica</i> | 11.38 | 0 | 5.52 | 14.48 | 1.03 | 7.93 | 5.86 | 2.07 | 13.1 | 4.83 | 1.03 | 1.03 | 10.69 | 1.03 | 2.07 | 6.9 | 5.17 | 5.52 | 0 | 0.34 | 290 |
| <i>Oryza sativa Indica</i> | 11.64 | 0 | 5.48 | 14.38 | 1.03 | 7.88 | 6.16 | 2.05 | 13.01 | 4.79 | 1.03 | 1.03 | 10.62 | 1.03 | 1.71 | 7.19 | 5.14 | 5.48 | 0 | 0.34 | 292 |
| <i>Oryza brachyantha</i> | 10.45 | 0 | 5.57 | 14.29 | 1.05 | 8.36 | 4.53 | 2.09 | 13.94 | 5.23 | 1.05 | 0.7 | 10.8 | 1.39 | 1.39 | 8.36 | 4.18 | 6.27 | 0 | 0.35 | 287 |
| <i>Hordeum vulgare</i> | 9.41 | 0 | 6.27 | 16.86 | 0.78 | 7.45 | 3.92 | 1.96 | 14.49 | 6.27 | 1.57 | 1.18 | 7.06 | 1.57 | 1.96 | 6.67 | 4.31 | 7.06 | 0 | 0.78 | 255 |
| <i>Triticum aestivum</i> | 10.82 | 0 | 5.97 | 16.04 | 0.75 | 7.46 | 4.48 | 1.87 | 14.18 | 5.97 | 1.12 | 0.75 | 7.09 | 1.87 | 1.49 | 6.34 | 5.22 | 7.84 | 0 | 0.75 | 268 |
| <i>Triticum turgidum</i> | 10.45 | 0 | 5.97 | 16.04 | 0.75 | 7.84 | 4.48 | 1.87 | 14.18 | 5.97 | 1.12 | 0.75 | 7.09 | 1.87 | 1.49 | 6.34 | 5.22 | 7.84 | 0 | 0.75 | 268 |
| <i>Agropyron cristatum</i> | 5.43 | 0 | 5.43 | 17.93 | 1.09 | 10.87 | 3.8 | 2.17 | 13.59 | 5.98 | 1.63 | 1.09 | 4.35 | 2.72 | 2.72 | 7.61 | 5.43 | 7.61 | 0 | 0.54 | 184 |
| <i>Aegilops tauschii</i> | 7.14 | 0 | 6.04 | 16.88 | 0.55 | 8.79 | 3.3 | 1.65 | 15.38 | 7.14 | 1.65 | 1.1 | 4.95 | 2.2 | 2.2 | 8.79 | 3.85 | 5.49 | 0 | 1.1 | 182 |
| میانگین | 6.37 | 0.19 | 6.03 | 18.3 | 1.54 | 6.39 | 5.32 | 2.48 | 16.49 | 4.89 | 1.16 | 1.38 | 6.82 | 2.24 | 1.47 | 6.85 | 5.41 | 5.76 | 0 | 0.91 | 237 |

جدول ۲. تخمین ناهمسان (dissimilarity) یا فاصله (distance) گونه‌های گیاهی بر اساس ترکیب آمینواسیدهای آن‌ها

Table 2. Estimated genetic dissimilarities, or genetic distances, in the structure of dehydrin protein in different plant species based on their amino acid content

| گونه گیاهی | 1 | 2 | 3 | 4 | 5 | 6 | 7 | 8 | 9 | 10 | 11 | 12 | 13 | 14 | 15 | 16 | 17 | 18 | 19 | 20 | 21 | 22 | 23 | 24 |
|-------------------------------------|-----|-----|-----|-----|-----|-----|-----|-----|-----|-----|-----|-----|-----|-----|-----|-----|-----|-----|-----|-----|-----|-----|-----|----|
| <i>Arabidopsis thaliana</i> (1) | 0.0 | | | | | | | | | | | | | | | | | | | | | | | |
| <i>Arabidopsis suecica</i> (2) | 0 | | | | | | | | | | | | | | | | | | | | | | | |
| <i>Camelina sativa</i> (3) | 0 | 0 | 0.0 | | | | | | | | | | | | | | | | | | | | | |
| <i>Atriplex halimus</i> (4) | 0.2 | 0.6 | 0.4 | | | | | | | | | | | | | | | | | | | | | |
| <i>Solanum chilense</i> (5) | 0.0 | 0.0 | 0.0 | 0.7 | | | | | | | | | | | | | | | | | | | | |
| <i>Coffea canephora</i> (6) | 0.3 | 0.5 | 0.5 | 0.4 | 0.2 | | | | | | | | | | | | | | | | | | | |
| <i>Plantago major</i> (7) | 0.0 | 0.0 | 0.0 | 0.4 | 0.0 | 0.0 | | | | | | | | | | | | | | | | | | |
| <i>Glycine max</i> (8) | 0.0 | 0.0 | 0.0 | 0.1 | 0.0 | 0.3 | 0.0 | | | | | | | | | | | | | | | | | |
| <i>Citrus x clementina</i> (9) | 0.0 | 0.0 | 0.1 | 0.0 | 0.0 | 0.0 | 0.0 | 0.0 | 0.0 | 0.0 | 0.0 | 0.0 | 0.0 | 0.0 | 0.0 | 0.0 | 0.0 | 0.0 | 0.0 | 0.0 | 0.0 | 0.0 | 0.0 | |
| <i>Citrus x paradisi</i> (10) | 1 | 5 | 9 | 9 | 0 | 8 | 0 | 2 | | | | | | | | | | | | | | | | |
| <i>Citrus sinensis</i> (11) | 0.0 | 0.0 | 0.1 | 0.2 | 0.0 | 0.1 | 0.0 | 0.0 | 0.0 | 0.0 | 0.0 | 0.0 | 0.0 | 0.0 | 0.0 | 0.0 | 0.0 | 0.0 | 0.0 | 0.0 | 0.0 | 0.0 | 0.0 | |
| <i>Malus domestica</i> (12) | 3 | 0 | 8 | 0 | 0 | 5 | 1 | 0 | 0 | 0 | 0 | 0 | 0 | 0 | 0 | 0 | 0 | 0 | 0 | 0 | 0 | 0 | 0 | |
| <i>Trifolium repens</i> (13) | 0.0 | 0.0 | 0.0 | 0.2 | 0.5 | 1.0 | 0.5 | 0.4 | 0.6 | 0.5 | 0.6 | 0.4 | | | | | | | | | | | | |
| <i>Lotus japonicus</i> (14) | 0.0 | 0.0 | 0.0 | 0.0 | 0.2 | 0.7 | 0.3 | 0.0 | 0.1 | 0.1 | 0.1 | 0.1 | 0.1 | 0.1 | 0.0 | 0.0 | 0.0 | 0.0 | 0.0 | 0.0 | 0.0 | 0.0 | 0.0 | |
| <i>Medicago truncatula</i> (15) | 0 | 7 | 1 | 7 | 8 | 6 | 6 | 0 | 8 | 6 | 9 | 4 | 0 | 9 | 0 | 0 | 0 | 0 | 0 | 0 | 0 | 0 | 0 | |
| <i>Pisum sativum</i> (16) | 0.0 | 0.0 | 0.1 | 0.4 | 0.2 | 0.5 | 0.2 | 0.1 | 0.3 | 0.3 | 0.4 | 0.2 | 0.0 | 0.1 | 0.1 | 0.1 | 0.1 | 0.1 | 0.1 | 0.1 | 0.1 | 0.1 | 0.1 | |
| <i>Vitis vinifera</i> (17) | 0.2 | 0.0 | 0.1 | 0.0 | 0.0 | 0.0 | 0.0 | 0.0 | 0.0 | 0.0 | 0.0 | 0.0 | 0.0 | 0.0 | 0.1 | 0.0 | 0.0 | 0.0 | 0.0 | 0.0 | 0.0 | 0.0 | 0.0 | |
| <i>Vitis yeshanensis</i> (18) | 2 | 0 | 7 | 0 | 0 | 0 | 0 | 0 | 0 | 0 | 0 | 0 | 0 | 0 | 0 | 0 | 0 | 0 | 0 | 0 | 0 | 0 | 0 | |
| <i>Capsella bursa-pastoris</i> (19) | 0.0 | 0.0 | 0.0 | 0.5 | 0.0 | 0.5 | 0.0 | 0.0 | 0.1 | 0.1 | 0.1 | 0.2 | 0.0 | 0.0 | 0.0 | 0.1 | 0.0 | 0.0 | 0.0 | 0.0 | 0.0 | 0.0 | 0.0 | |
| <i>Brassica napus</i> (20) | 0.0 | 0.0 | 0.0 | 0.8 | 0.0 | 0.5 | 0.0 | 0.0 | 0.0 | 0.0 | 0.0 | 0.0 | 0.0 | 0.0 | 0.1 | 0.3 | 0.0 | 0.0 | 0.0 | 0.0 | 0.0 | 0.0 | 0.0 | |
| <i>Brassica juncea</i> (21) | 2 | 0 | 0 | 0 | 0 | 0 | 0 | 0 | 0 | 0 | 0 | 0 | 0 | 0 | 0 | 0 | 0 | 0 | 0 | 0 | 0 | 0 | 0 | |
| <i>Brassica oleracea</i> (22) | 0.1 | 0.0 | 0.0 | 0.7 | 0.0 | 0.3 | 0.0 | 0.0 | 0.1 | 0.0 | 0.0 | 0.0 | 0.0 | 0.0 | 0.1 | 0.2 | 0.0 | 0.0 | 0.0 | 0.0 | 0.0 | 0.0 | 0.0 | |
| <i>Brassica rapa</i> (23) | 0.0 | 9 | 6 | 6 | 0 | 4 | 0 | 0 | 0 | 0 | 0 | 0 | 0 | 0 | 0 | 9 | 2 | 1 | 0 | 0 | 5 | 0 | 0 | |
| <i>Sorghum bicolor</i> (24) | 0.6 | 0.7 | 0.7 | 0.2 | 0.5 | 0.2 | 1.2 | 0.4 | 0.0 | 0.0 | 0.0 | 0.2 | 1.0 | 0.5 | 0.8 | 1.0 | 0.0 | 0.0 | 0.8 | 0.5 | 0.6 | 0.5 | 0.6 | |
| <i>Zea mays</i> (25) | 1.0 | 1.2 | 1.0 | 0.4 | 0.8 | 0.4 | 1.7 | 0.8 | 0.5 | 0.6 | 0.6 | 0.7 | 1.1 | 0.8 | 0.6 | 1.1 | 0.2 | 0.3 | 1.2 | 1.1 | 1.3 | 1.1 | 1.2 | |

شاخص تاباربری در هر سایت برای همه جفت تولی‌های مورد استفاده نشان داده شده است. مقادیر بیشتر از مقدار عددی صفر (۰) نشان دهنده تفاوت ژنتیکی بالا در ارتباط با ترکیب پایه آمینو اسیدی نسبت به بر اساس و اگر این تکاملی بین تولی‌ها است.

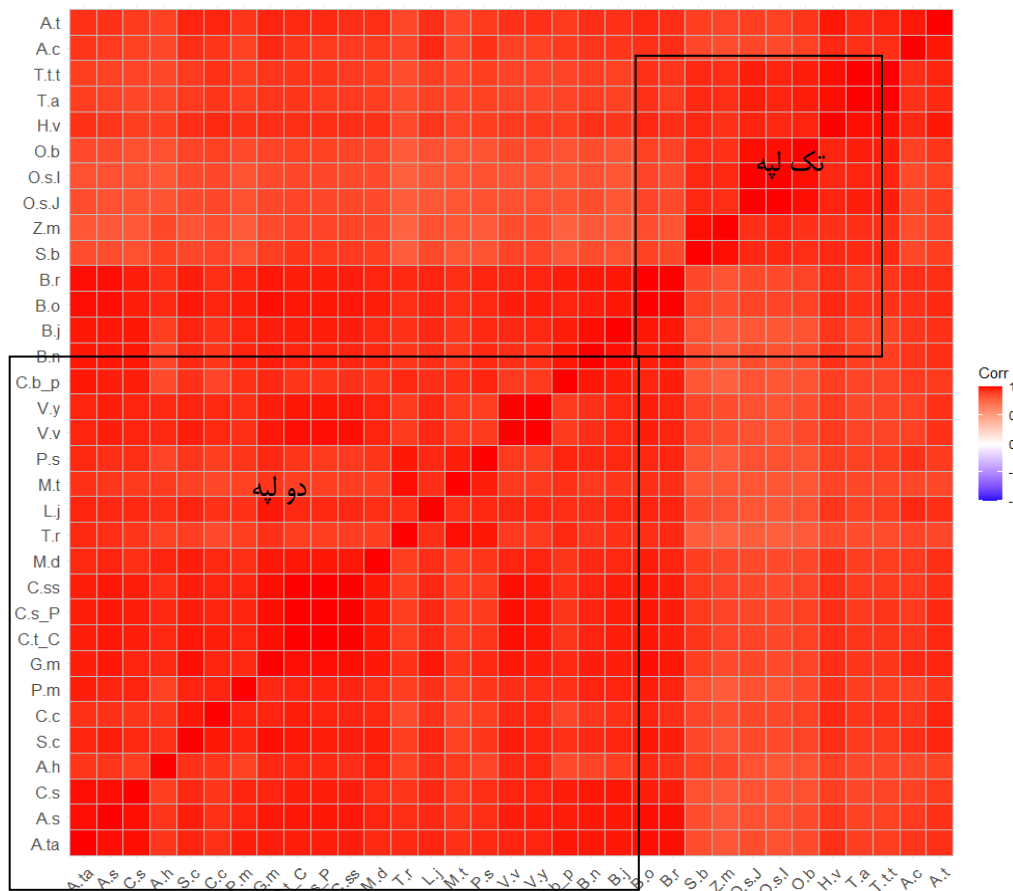
ادامه جدول ۲. تخمین ناهمسان یا فاصله ژنتیکی گونه‌های گیاهی بر اساس ترکیب آمینواسیدهای گروه پروتئین دهیدرین در این گیاهان

Continued table 2. Estimated genetic dissimilarities, or genetic distances, in the structure of dehydrin protein in different plant species based on their amino acid content

| گونه گیاهی | 22 | 23 | 24 | 25 | 26 | 27 | 28 | 29 | 30 | 31 | 32 | 33 | 26 | 27 | 28 | 29 | 30 | 31 | 32 |
|-----------------------------------|------|------|------|------|------|------|------|------|------|------|------|------|------|------|------|------|------|------|------|
| <i>Oryza sativa Japonica</i> (26) | 0.18 | 0.14 | 0.29 | 0.17 | 0.11 | 0.12 | 0.81 | 0.05 | 0.00 | 0.03 | 0.07 | 0.11 | 0.56 | 0.29 | 0.69 | 0.40 | 0.00 | 0.00 | 0.44 |
| <i>Oryza sativa Indica</i> (27) | 0.24 | 0.20 | 0.32 | 0.15 | 0.11 | 0.17 | 0.84 | 0.07 | 0.00 | 0.03 | 0.08 | 0.14 | 0.56 | 0.33 | 0.69 | 0.40 | 0.00 | 0.00 | 0.49 |
| <i>Oryza brachyantha</i> (28) | 0.05 | 0.05 | 0.26 | 0.29 | 0.05 | 0.21 | 0.71 | 0.11 | 0.00 | 0.00 | 0.00 | 0.21 | 0.63 | 0.27 | 0.72 | 0.66 | 0.00 | 0.00 | 0.34 |
| <i>Hordeum vulgare</i> (29) | 0.26 | 0.25 | 0.38 | 0.14 | 0.00 | 0.00 | 0.33 | 0.00 | 0.00 | 0.00 | 0.00 | 0.10 | 0.56 | 0.14 | 0.53 | 0.40 | 0.00 | 0.01 | 0.43 |
| <i>Triticum aestivum</i> (30) | 0.35 | 0.35 | 0.48 | 0.17 | 0.23 | 0.00 | 0.70 | 0.06 | 0.05 | 0.08 | 0.11 | 0.23 | 0.58 | 0.11 | 0.52 | 0.40 | 0.00 | 0.02 | 0.44 |
| <i>Triticum turgidum</i> (31) | 0.35 | 0.35 | 0.48 | 0.17 | 0.23 | 0.00 | 0.70 | 0.06 | 0.05 | 0.08 | 0.11 | 0.23 | 0.58 | 0.11 | 0.52 | 0.40 | 0.00 | 0.02 | 0.44 |
| <i>Agropyron cristatum</i> (32) | 0.00 | 0.02 | 0.12 | 0.15 | 0.20 | 0.10 | 0.42 | 0.00 | 0.00 | 0.01 | 0.00 | 0.01 | 0.00 | 0.07 | 0.01 | 0.00 | 0.03 | 0.11 | 0.10 |
| <i>Aegilops tauschii</i> (33) | 0.12 | 0.04 | 0.21 | 0.22 | 0.00 | 0.00 | 0.43 | 0.03 | 0.00 | 0.00 | 0.00 | 0.04 | 0.46 | 0.02 | 0.40 | 0.20 | 0.01 | 0.08 | 0.18 |

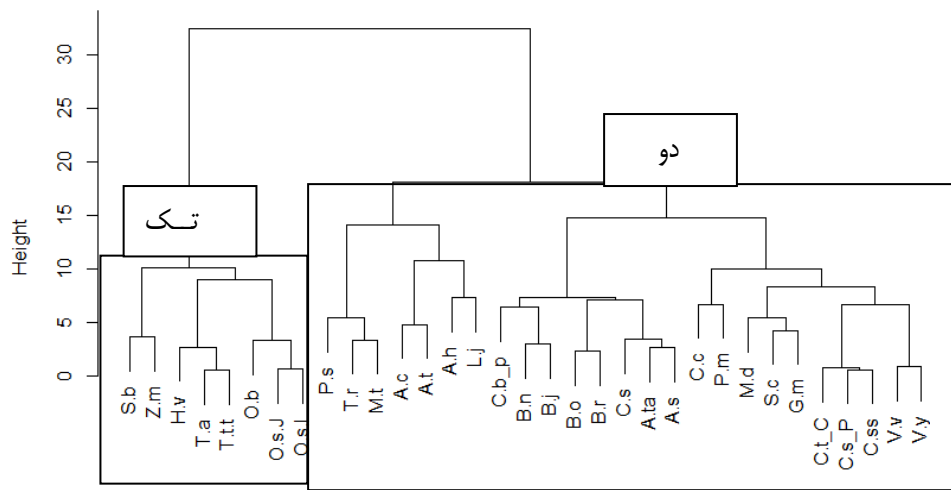
| گونه گیاهی | 23 | 24 | 25 | 26 | 27 | 28 | 29 | 30 | 31 | 32 | 33 | 31 | 32 | | | | | | |
|-----------------------------------|------|------|------|------|------|------|------|------|------|------|------|----|----|--|--|--|--|--|--|
| <i>Oryza sativa Japonica</i> (26) | 0.15 | 0.27 | 0.07 | 0.08 | 0.04 | 0.20 | | | | | | | | | | | | | |
| <i>Oryza sativa Indica</i> (27) | 0.17 | 0.30 | 0.09 | 0.08 | 0.03 | 0.19 | 0.00 | | | | | | | | | | | | |
| <i>Oryza brachyantha</i> (28) | 0.15 | 0.23 | 0.06 | 0.09 | 0.15 | 0.33 | 0.02 | 0.05 | | | | | | | | | | | |
| <i>Hordeum vulgare</i> (29) | 0.12 | 0.18 | 0.03 | 0.06 | 0.09 | 0.24 | 0.00 | 0.00 | 0.00 | | | | | | | | | | |
| <i>Triticum aestivum</i> (30) | 0.17 | 0.26 | 0.09 | 0.09 | 0.04 | 0.18 | 0.00 | 0.00 | 0.05 | 0.00 | | | | | | | | | |
| <i>Triticum turgidum</i> (31) | 0.17 | 0.26 | 0.09 | 0.09 | 0.05 | 0.20 | 0.00 | 0.00 | 0.03 | 0.00 | 0.00 | | | | | | | | |
| <i>Agropyron cristatum</i> (32) | 0.01 | 0.00 | 0.03 | 0.00 | 0.11 | 0.15 | 0.00 | 0.00 | 0.08 | 0.02 | 0.01 | | | | | | | | |
| <i>Aegilops tauschii</i> (33) | 0.00 | 0.03 | 0.04 | 0.01 | 0.00 | 0.06 | 0.00 | 0.00 | 0.01 | 0.01 | 0.02 | | | | | | | | |

شانس نابرابری در هر سایت برای همه جفت توالی‌های مورداستفاده نشان داده شده است. مقادیر بیشتر از ۰ نشان دهنده تفاوت ژنتیکی بالا در ارتباط با ترکیب پایه آمینواسیدی نسبت به بر اساس واگرایی تکاملی بین توالی‌ها است.



شکل ۵. پلات همبستگی بین گونه‌های گیاهی موربدبررسی بر اساس ترکیب آمینواسیدی مربوط به توالی پروتئین‌های خامواده دهیدرین

Figure 5. Correlation plot of evaluated plant species based on their amino acid sequences regarding dehydrin proteins

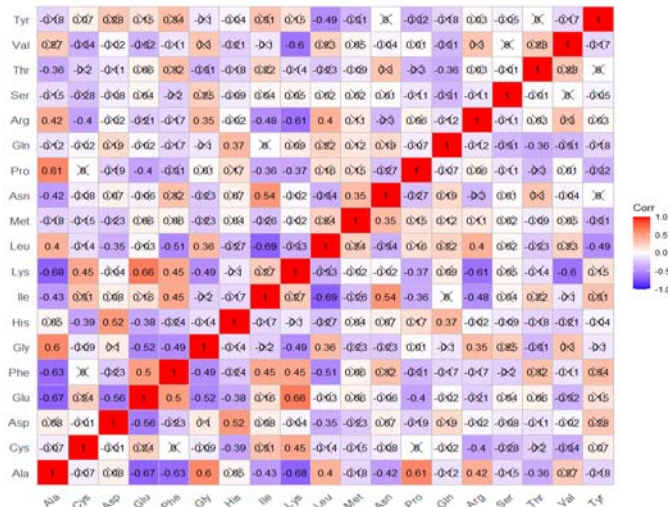


شکل ۶. کلاسترینگ مربوط به گونه‌های گیاهی موردبررسی بر اساس ترکیب و درصد آمینواسیدی در ارتباط با خانواده پروتئین‌های دهیدرین

Figure 6. Clustering analysis of the evaluated plant species based on their amino acid sequences regarding dehydrin proteins

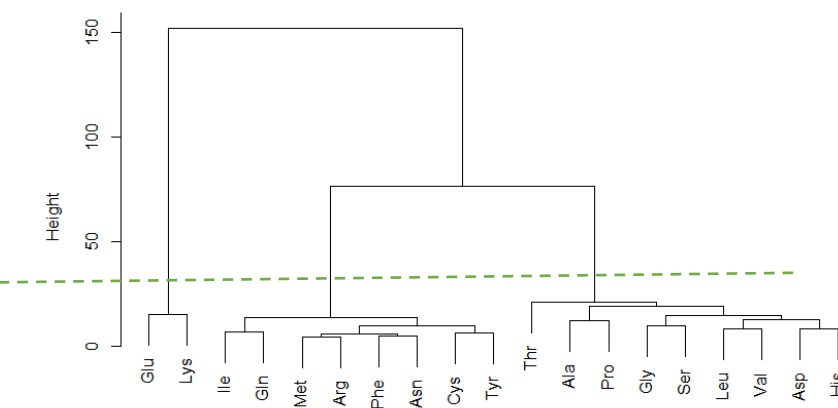
گروه اولی شامل دو اسیدآمینه گلوتامین و لايسین بود، گروه دو شامل ايزولوسین، ميتیونین، آرژنین، فيليلآلانین، آسپاراژین، سيسنتین و فايروزين در گروه دوم و ساير اسیدآمینه‌های موجود در ساختار پروتئين‌های دهيدرین نيز در گروه سوم قرار گرفتند. بررسی ساختار رابطه‌ای و توزيع اسیدآمینه‌ها در گیاهان مختلف بهوسيله گراف هيتمپ و بايپلات در شکل ۶ و شکل ۹ آورده شده است. در گراف هيتمپ، سلول‌های دارای رنگ قرمز تيره با عدد كوچك‌تر از لاحاظ علامتی (منفي تر) نشان‌دهنده ارتباط پايانين تر است و به اين معنى است که گیاه موردنظر دارای مقدار پايانين ترى از آن اسیدآمینه است. سلول‌هایی که دارای عدد بزرگ‌تر و بهاصطلاح مثبت‌تر هستند نشان‌دهنده ارتباط بالاي بين اسیدآمینه موردنظر و گیاه مرتبط با آن سلول است که به معنى بالا بودن مقدار اين اسیدآمینه در گیاه موردنظر است. اين نتائج مرتبط با ارتباط مقابل بين گونه‌های گیاهی و اسیدآمینه‌های تشکيل‌دهنده گروه دهيدرین به همراه نتائج مربوط به گروه‌بندی گیاهان و خود اسیدآمینه‌ها به صورت مجزا بهوسيله گراف بايپلات مورد تاييد قرار گرفت (شکل ۹ و ۱۰). در اين گراف گیاهان تک‌لپه در يك گوشه از گراف قرار گرفتند و ساير گیاهان دولپه در قسمت‌های ديگر پلات پخش شدند. بيشرین مقدار اسیدهای آمينه در گیاهان تک‌لپه مربوط به اسیدآمینه‌های آلانين و گلايسين بود که بيشرین نزديکی را با اين گروه گیاهی داشتند. همچنين، فلش‌های جهت‌دار اين گراف که مربوط به هر اسیدآمینه است در صورت نزديکی به هر گیاه نشان‌دهنده مقدار بالاتر از اين اسیدآمینه در گیاه موردنظر است.

بر اساس ترکیب اسیدآمینه‌های موجود در ساختار پروتئین‌های دهيدرین، مقدار همبستگی بين اين پروتئین‌ها محاسبه گردید و با استفاده از نرمافزار R به پلات همبستگی تبدیل گردید (شکل ۷). جهت بررسی بيشتر ترکیبات اسیدآمینه‌ای و مطالعه تفاوت بين اين اسیدآمینه‌ها، کلاسترین آن‌ها ترسیم گردید و که در شکل ۸ ارائه گردیده است. اسیدآمینه‌های تايروزین، والین، تراونین و سرين با همچ کدام از اسیدآمینه‌های موجود همبستگی معنی‌داری نشان ندادند که نشان‌دهنده تنوع بين گیاهان موردنظر در ارتباط با مقدار اين اسیدآمینه‌ها در ساختار آن‌هاست. بيشرین مقدار همبستگی از لاحاظ عددی بين ۰/۶ و ۰/۷ قرار داشت که بيشرین مقدار آن (۰/۶۹) در همبستگی بين لوسين و ايزولوسين بود که از لاحاظ ساختاري نيز دارای مشابهت بسیار با هم هستند. آلانين با اسیدآمینه‌های گلوتامين (۰/۶۷)، فيليلآلانين (۰/۶۳)، گلايسين (۰/۶)، ايزولوسين (۰/۴۳)، لايزين (۰/۶۸)، لوسين (۰/۶)، آسپاراژين (۰/۴۲) و پرولين (۰/۶۱) دارای همبستگی معنی‌دار بود. اسیدآمینه سيسنتین با هيسين (۰/۳۹)، لايسن (۰/۴۵) و آرژنین (۰/۴) دارای همبستگی معنی‌دار بود. تنها اسیدآمینه‌هایي که با آسپاراژين همبستگی معنی‌دار نشان دادند اسیدآمینه گلوتامين (۰/۵۶) و هيسين (۰/۵۶) بود. اسیدآمینه‌های گلوتامين و فيليلآلانين دارای همبستگی مثبت و معنی‌دار (۰/۵) بودند و اين دو اسیدآمینه نيز دارای همبستگي منفي معنی‌دار با آلانين، منفي و معنی‌دار با گلايسين و مثبت و معنی‌دار با لايسين بودند. بر اساس شباهت و فاصله اقلیدسی بين اسیدآمینه‌ها موجود در ساختار پروتئین‌های دهيدرین در گیاهان موردمطالعه، تجزيه کلاستر نشان‌دهنده تفكیک روشن کلیه اسیدآمینه‌ها به سه گروه مجزا بود.



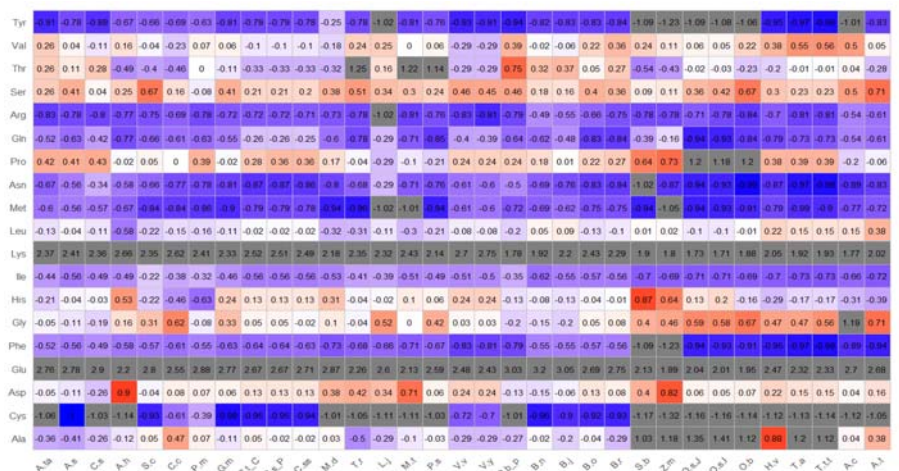
شکل ۷. پلات همبستگی بین آمینواسیدهای موجود در توالی ژنی دهیدرین در گونه‌های مورد بررسی

Figure 7. Correlation plot of the amino acids in the protein structure of dehydrin family belonging to the evaluated plant species



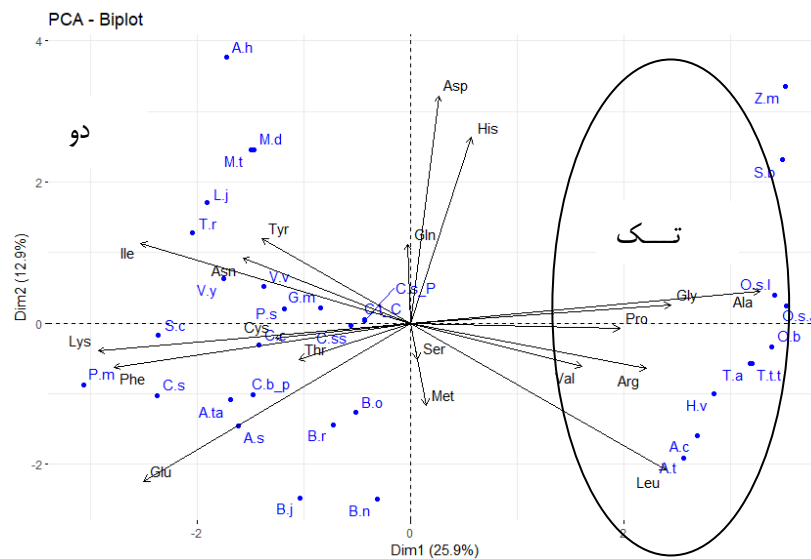
شکل ۸. کلاسترینگ مربوط به ترکیبات اسیدآمینه موجود در گونه‌های گیاهی مورد بررسی بر اساس خانواده پروتئین‌های دهیدرین

Figure 8. Clustering of the amino acids in the protein structure of dehydrin family belonging to the evaluated plant species



شکل ۹. هیت مپ (Heatmap) مربوط به ترکیبات اسیدآمینه خانواده پروتئین‌های دهیدرین (ردیفها) و گونه‌های گیاهی مورد بررسی (ستون‌ها) جهت بررسی روابط آنها

Figure 9. Heatmap of the amino acids composition in the protein structure of dehydrin family belonging to the evaluated plant species



شکل ۱۰. بای‌پلات (Biplot) مربوط به ترکیبات اسیدآمینه پروتئین‌های گروه دهیدرین و گونه‌های گیاهی مورد بررسی به صورت همزمان

Figure 10. Biplot of the amino acid composition along with the evaluated plant species at the same time

هورمون به عنوان یک سیگنالینگ سلولی در گیاهان و در پاسخ به تنش‌های محیطی عمل می‌کند و این نتایج نیز تأیید کننده عملکرد مهم این پروتئین‌ها در شرایط نامساعد و تنش در گیاهان است.

بر اساس مطالعات انجام شده، پروتئین‌های گروه دهیدرین در گیاهان را بر اساس چندین موتیف حفاظت شده می‌توان به چند زیر‌گروه، مانند KnS، YnKn، YnSKn، Kn و KnS تقسیم کرد. در این مطالعه نیز ساختارهای K، S و Y در پروتئین‌های مربوط به گیاهان مورد بررسی کاملاً قابل مشاهده و تفکیک بود. بخش K که دارای یک دامنه تکراری غنی از لیزین انحصاری است که در تمام DHN‌ها وجود دارد و این بخش ممکن است نقش محوری در تعاملات پروتئین لیپیدی داشته باشد (EKKGIMDKIKEKLPG) است، یک موتیف حفاظت شده Sun et al., 2021). مطالعات تکاملی DHN‌ها به صورت کامل کشف نشده است (Kn یا SKn را به عنوان قدیمی‌ترین ساختارهای اجدادی شناسایی کردند، در حالی که توالی‌های دارای بخش Y تنها در گیاهان گل‌دار قابل مشاهده بود (Decena et al., 2021). تکامل گیاهی منجر به تعداد و ساختارهای متنوع دهیدرین‌ها در گونه‌های مختلف گیاهی شده است. از ۳۵ گونه آنزیوپسپرم بررسی شده توسط Malik et al., 2017)، همه آن‌ها حداقل یک SKn دهیدرین

(۲۰۰۶) Saavedra et al. جهت تشخیص نحوه عمل پروتئین‌های خانواده دهیدرین آزمایشی را با استفاده از روش خاموش‌سازی ژنی (Gene Knockout) طراحی کردند که نتایج این پژوهش نشان‌دهنده ارتباط مستقیم عملکردی پروتئین‌های دهیدرین با شرایط پس از تنش شوری و اسموتیک بود. در این آزمایش گیاهان شاهد پس از بازیابی از تنش قادر بودند تا میزان ۹۴ درصد از رشد خود را بازیابی کنند، در حالی که گیاهان جهش داده شده و بدون ژن‌های مربوط به خانواده پروتئین‌های دهیدرین تنها تا ۳۴ درصد قادر به بازیابی بودند. همچنین در آزمایش Velasco-Conde et al. (2012) مقدار بیان ژن‌های مربوط به پروتئین‌های خانواده دهیدرین در گیاهان مورد آزمایش که دارای مقاومت بالایی به شرایط تنش خشکی بودند به صورت معنی‌داری از گیاهان شاهد حساس به خشکی بالاتر بود. هرچند عملکرد دقیق و مقدار کارایی این گروه از پروتئین‌ها هنوز بهخوبی و به‌طور کامل شناسایی نشده است، این مطالعات نشان‌دهنده اهمیت این گروه از پروتئین‌ها در مقاومت و تحمل گیاهان به شرایط تنش های محیطی است که اهمیت اجرای پژوهه‌های تحقیقاتی را روی مکانیسم عمل و استفاده از آن‌ها جهت تولید گیاهان مقاوم به تنش‌های محیطی را مشخص می‌سازد. نتایج پژوهش Borovskii et al. (۲۰۰۲) نیز تأیید کننده یک ارتباط مستقیم بین میزان تولید و غلظت پروتئین‌های دهیدرین در سلول‌های گیاهی و هورمون آبسیزیک اسید بود که این

و معنی‌دار بین دو گروه گیاهان دولپه‌ای و تک‌لپه‌ای بود. از طرفی گیاهان داخل هر یک از این گروه نیز دارای تفاوت‌ها و شباهت‌های ژنتیکی مرتبط با درصد و نحوه قرارگیری اسیدهای آمینه داشتند. اسیدآمینه‌های آلانین، کالایسین و پروولین از جمله اسیدآمینه‌هایی بودند که دارای نزدیکی هندسی در تحلیل مؤلفه‌های اصلی بودند و نشان‌دهنده اهمیت بالای این اسیدآمینه‌ها در ساختار این گیاهان بود. چندین ناحیه حفاظت‌شده در بین پروتئین‌های موربدبررسی شناسایی شد که نشان‌دهنده اهمیت این نواحی برای عملکرد ژن‌های دهیدرین است.

References

- Borovskii, G. B., Stupnikova, I. V., Antipina, A. I., Vladimirova, S. V., & Voinikov, V. K. (2002). Accumulation of dehydrin-like proteins in the mitochondria of cereals in response to cold, freezing, drought and ABA treatment. *BMC Plant Biology*, 2, 1-7 .
- Decena, M. A., Gálvez-Rojas, S., Agostini, F., Sancho, R., Contreras-Moreira, B., Des Marais, D. L., Hernandez, P., & Catalán, P. (2021). Comparative genomics, evolution, and drought-induced expression of dehydrin genes in model Brachypodium grasses. *Plants*, 10(12), 2664-2681 .
- Koag, M.-C., Wilkens, S., Fenton, R. D., Resnik, J., Vo, E., & Close, T. J. (2009). The K-segment of maize DHN1 mediates binding to anionic phospholipid vesicles and concomitant structural changes. *Plant physiology*, 150(3), 1503-1 .^{۵۱۴}
- Malik, A. A., Veltri, M., Boddington, K. F., Singh, K. K., & Graether, S. P. (2017). Genome analysis of conserved dehydrin motifs in vascular plants. *Frontiers in plant science*, 8, 252-268 .
- Saavedra, L., Svensson, J., Carballo, V., Izmendi, D., Welin, B., & Vidal, S. (2006). A dehydrin gene in *Physcomitrella patens* is required for salt and osmotic stress tolerance. *The Plant Journal*, 45(2), 237-249 .
- Sun, Y., Liu, L., Sun, S., Han, W., Irfan, M., Zhang, X., Zhang, L., & Chen, L. (2021). AnDHN, a dehydrin protein from *Ammopiptanthus nanus*, mitigates the negative effects of drought stress in plants. *Frontiers in plant science*, 12, 788-838 .
- Velasco-Conde, T., Yakovlev, I., Majada, J. P., Aranda, I., & Johnsen, Ø. (2012). Dehydrins in maritime pine (*Pinus pinaster*) and their expression related to drought stress response. *Tree genetics & genomes*, 8, 957-973 .
- Battaglia, M., Olvera-Carrillo, Y., Garcíarrubio, A., Campos, F., & Covarrubias, A. A. (2008). The enigmatic LEA proteins and other hydrophilins. *Plant physiology*, 148(1), 6-24 .
- Dashstend. ۳۹ گونه حاوی حداقل یک دهیدرین YnSKn ، ۱۳ گونه حاوی حداقل یک دهیدرین YnKn و ۱۵ گونه حاوی حداقل یک دهیدرین Kn بودند.

نتیجه‌گیری

نتایج این پژوهش نشان‌دهنده اهمیت بالای پروتئین‌های خانواده دهیدرین در تحمل شرایط تنفس در گیاهان است. بررسی توالی اسیدآمینه‌های ساختاری و درصد آن‌ها به همراه بررسی خطی توالی ژن‌های مربوطه نشان‌دهنده تفاوت‌های قابل مشاهده

- Lan, T., Gao, J., & Zeng, Q.-Y. (2013). Genome-wide analysis of the LEA (late embryogenesis abundant) protein gene family in *Populus trichocarpa*. *Tree genetics & genomes*, 9, 253-264.
- Liu, C.-C., Li, C.-M., Liu, B.-G., Ge, S.-J., Dong, X.-M., Li, W., Zhu, H.-Y., Wang, B.-C., & Yang, C.-P. (2012). Genome-wide identification and characterization of a dehydrin gene family in poplar (*Populus trichocarpa*). *Plant Molecular Biology Reporter*, 30, 848-859.
- Saavedra, L., Svensson, J., Carballo, V., Izmendi, D., Welin, B., & Vidal, S. (2006). A dehydrin gene in *Physcomitrella patens* is required for salt and osmotic stress tolerance. *The Plant Journal*, 45(2), 237-249.
- Sheikh Asadi, M., Naderi, R., Kafi, M., Fatahi Moghadam, M., & Eslami, A. (2019). Study of molecular phylogeny and structure of matk protein in *Lilium ledebourii* [Baker] Boiss. *Journal of plant production research*, 27(4), 181-191.
- Smith, M. A., & Graether, S. P. (2022). The disordered dehydrin and its role in plant protection: A biochemical perspective. *Biomolecules*, 12(2), 294-307.
- Stival Sena, J., Giguère, I., Rigault, P., Bousquet, J., & Mackay, J. (2018). Expansion of the dehydrin gene family in the Pinaceae is associated with considerable structural diversity and drought-responsive expression. *Tree Physiology*, 38(3), 442-456.
- Sun, X., Xi, D. H., Feng, H., Du, J. B., Lei, T., Liang, H. G., & Lin, H. H. (2009). The dual effects of salicylic acid on dehydrin accumulation in water-stressed barley seedlings. *Russian journal of plant physiology*, 56, 348-354.
- Sun, Y., Liu, L., Sun, S., Han, W., Irfan, M., Zhang, X., Zhang, L., & Chen, L. (2021). AnDHN, a dehydrin protein from *Ammopiptanthus nanus*, mitigates the negative effects of drought stress in plants. *Frontiers in plant science*, 12, 788-838.
- Tripepi, M., Pöhlschroder, M., & Beatrice Bitonti, M. (2011). Diversity of dehydrins in Oleae europaea plants exposed to stress. *The Open Plant Science Journal*, 5(1), 308-320.
- Velasco-Conde, T., Yakovlev, I., Majada, J. P., Aranda, I., & Johnsen, Q. (2012). Dehydrins in maritime pine (*Pinus pinaster*) and their expression related to drought stress response. *Tree genetics & genomes*, 8, 957-973.
- Verma, G., Dhar, Y. V., Srivastava, D., Kidwai, M., Chauhan, P. S., Bag, S. K., Asif, M. H., & Chakrabarty, D. (2017). Genome-wide analysis of rice dehydrin gene family: Its evolutionary conservedness and expression pattern in response to PEG induced dehydration stress. *PLoS One*, 12(5), 176-193.
- Yang, Y., He, M., Zhu, Z., Li, S., Xu, Y., Zhang, C., Singer, S. D., & Wang, Y. (2012). Identification of the dehydrin gene family from grapevine species and analysis of their responsiveness to various forms of abiotic and biotic stress. *BMC Plant Biology*, 12, 1-17.
- Yousef Zaei, S., Mahdinjad, N., Fakheri, B., & Ganjali, P. (2019). Identification of DHN5 gene and investigation of its evolutionary relationships in cultivated wheat and its ancestors. *Modern genetics*, 15(4), 361-370.
- Zan, T., Li, L., Li, J., Zhang, L., & Li, X. (2020). Genome-wide identification and characterization of late embryogenesis abundant protein-encoding gene family in wheat: evolution and expression profiles during development and stress. *Gene*, 736, 1444-1452.
- Zhang ,J., Xia, H., Liang, D., Lin, L., Deng, H., Lv, X., Wang, Z., Wang, J., & Xiong, B. (2021). Genome-wide identification and expression profiling of the dehydrin gene family in *Actinidia chinensis*. *Scientia Horticulturae*, 280, 1099-1130 .